

التشغيل الهيدروليكي الأمثل لمضخات شبكات مياه الشرب باستخدام الخوارزمية الجينية

* نور بدبور * بسام الخضر *

(الإيداع: 21 تموز 2024 ، القبول: 17 آيلول 2024)

الملخص:

تعد دراسة التشغيل الأمثل لشبكات توزيع المياه إحدى القضايا الهامة لخطط إدارة تشغيل هذه الشبكات، وفي السنوات الأخيرة اكتسبت طرق الوصول للحلول المثلث أهمية كبيرة في هذا المجال لما أثبتته من فاعلية كبيرة ودقة عالية.

تم في هذا البحث استخدام تقنية الخوارزميات الجينية البسيطة في دراسة التشغيل الأمثل لشبكة مياه شرب حي الوعر في محافظة حمص، بحيث تتحقق المتطلبات الهيدروليكيية للجريان، وبأقل تكلفة اقتصادية استثمارية ممكنة للتشغيل، مع اقتراح إنشاء خزان توازن ودراسة إمكانية تغذية الشبكة من الخزان والمضخات معاً، حيث تم استخدام برنامج WaterCAD من أجل المحاكاة الهيدروليكية، وأظهرت النتائج كفاءة الخوارزمية الجينية البسيطة في إدارة تشغيل الشبكة بشكل جيد، إذ تبين أن الحجم المضخوخ من المياه (1179.8 m^3) كافي لتغذية الشبكة بشكل مقبول، مع إمكانية إيقاف كل مضخة 6 ساعات عن العمل، وتغذية الشبكة من المضخات والخزان معاً، بتكلفة استثمارية للضخ تبلغ (102798 ل.س) في اليوم.

الكلمات المفتاحية: التشغيل الأمثل، الحلول المثلث، الخوارزميات الجينية البسيطة، المتطلبات الهيدروليكيية، شبكة حي الوعر.

• طالبة دكتوراه - قسم هندسة و إدارة الموارد المائية - كلية الهندسة المدنية - جامعة البعث
** أستاذ مساعد - قسم هندسة و إدارة الموارد المائية - كلية الهندسة المدنية - جامعة البعث

Optimal Hydraulic Operation of Drinking Water Network Pumps Using Genetic Algorithm

Bassam Alkhader ** Nour Abdul aillah Dabdoub *

(Received: 21 July 2024 , Accepted: 17 September 2024)

Abstract:

Studying the optimal operation of water distribution networks is one of the important issues for plans to manage the operation of these networks. In recent years, methods for arriving at optimal solutions have gained great importance in this field because they have proven to be of great effectiveness and high accuracy. In this research, simple genetic algorithms technology was used to study the optimal operation of the drinking water network in the Al-Waer neighborhood in Homs Governorate, so that the hydraulic requirements for flow are met, and with the lowest possible economic investment cost for operation, with a proposal to establish a balance tank and study the possibility of feeding the network from the tank and pumps together, as The WaterCAD program was used for hydraulic simulation, and the results showed the efficiency of the simple genetic algorithm in managing the operation of the network well, as it was found that the pumped volume of water (1179.8 m^3) is sufficient to supply the network in an acceptable manner, with the possibility of stopping each pump from working for 6 hours, and feeding the network from the pumps and the tank. Together, the pumping investment costs amount to (102,798 SYP) per day.

Keywords: Optimal operation, optimal solutions, simple genetic algorithms, hydraulic requirements, Al-Waer neighborhood network.

*PhD student – Department of Water Resources Engineering and Management – Faculty of Civil Engineering – Al-Baath University

** Assistant Professor – Department of Water Resources Engineering and Management – Faculty of Civil Engineering – Al-Baath University

1- مقدمة:

بدأ استخدام الذكاء الصناعي في دراسة التشغيل الأمثل لشبكات توزيع المياه مع بداية القرن الواحد والعشرين، إذ أن عملية تشغيل الشبكة وعملها اليومي المتغير ساعياً يعتبر موضوع هام جداً عند تصميم منظومات مياه الشرب، لأنه مهما كان تخطيط Planning الشبكة، وتصميمها Design بشكل أمثل، فإن أداء هذه الشبكة سيكون منخفضاً ما لم يتم إدارتها Operating بشكل أمثل [1].

يهدف التشغيل الأمثل للشبكة إلى دراسة وضبط عمل المضخات (إيقاف، وتشغيل) التي تغذي الشبكة بالمياه بأقل تكلفة استثمارية ممكنة، لذا عند دراسة التشغيل الأمثل يجب تحقيق أمران أساسيان هما [2]:

1- تحقيق المتطلبات الهيدروليكيّة للشبكة.

2- تقليل تكلفة الضخ المتعلقة بـ (التصريف والضغط المطلوب تأمينهما، كفاءة عمل المضخات وزمن الضخ، سعر واحدة الطاقة الكهربائية) [3].

تم عملية الضخ بتشغيل المضخات المتواجدة داخل المحطة خلال اليوم، بما يتناسب مع الاستهلاك المتغير ساعياً. إذ تعتبر هذه العملية معقدة جداً وتحتاج إلى ضبط بتحديد عدد المضخات التي يجب أن تعمل بأن واحد خلال كل فاصل زمني Δt ليستطيع مهندسو الكهرباء ونظم التحكم برمجة عمل المضخات داخل لوحات التحكم المرفقة بها.

انخفاض الاستهلاك الساعي سيؤدي لتوقف عمل عدد من المضخات وبقاء أخرى قيد التشغيل، وفي حال وصول منسوب الماء في أحد خزانات التجميع إلى المنسوب الأعظمي سيؤدي ذلك أيضاً لتوقف عمل أحد المضخات، مما سيؤدي لتغيير تصريف وضغط وكفاءة عمل محطة الضخ من ساعة لأخرى، لذلك يجبأخذ كفاءة التشغيل بعين الاعتبار ومحاولة إيقائها ضمن حدود مقبولة [2].

اختيار الحل الأمثل للتشغيل عملية معقدة جداً بسبب كبر حجم فضاء الحلول، واختلاف العمر التصميمي بين المضخات وعناصر الشبكة (الأنباب، الخزانات)، ولأن الحل الأمثل خلال ساعات النهار لن يكون أمثل خلال المساء، لذا نحن بحاجة للوصول إلى حل مقبول لتشغيل الشبكة في كل ساعات اليوم [1].

ترداد الحاجة إلى دراسة التشغيل الأمثل للشبكة مع ازدياد عمر المضخات التي تغذي الشبكة، لأن المضخات في بداية عملها تعمل لساعات قليلة، أما مع زيادة عمرها التصميمي تعمل لساعات أكثر ل تستطيع تأمين الاستهلاك المتزايد من المياه [4].

يمكن استخدام تقانات الوصول للحلول المثلث (الخوارزميات الجينية البسيطة) في دراسة التشغيل الأمثل لشبكات توزيع المياه للتخفيف من التكلفة الاستثمارية للشبكة، مع تأمين المتطلبات الهيدروليكيّة (التصريف، الضغط).

2- هدف البحث:

يمكن هدف البحث في دراسة التشغيل الأمثل لمضخات شبكة مياه شرب بحيث تتحقق المتطلبات الهيدروليكيّة للجريان بأقل تكلفة اقتصادية استثمارية ممكنة للتشغيل (دراسة إدارة تشغيل الشبكة)، مع اقتراح إنشاء خزان توازن أرضي ليتم تعذية الشبكة المدروسة من المضخات والخزان معاً، وذلك بالاعتماد على تقنية الخوارزميات الجينية البسيطة SGA.

3- الشروط الهيدروليكيّة الحدية الازمة لدراسة التشغيل الأمثل لمضخات شبكات مياه الشرب (قيود الجريان) [5]:

3-1- شرط الضغط في العقد:

يجب أن يكون الضغط في أي عقدة استهلاك خلال زمن دراسة التشغيل الأمثل بين الضغط الأعظمي والأصغرى المسموح، ويعبر عن هذا الشرط رياضياً بالعلاقة الآتية:

$$H_{i,j}^{\min} \leq H_{i,j}(t) \leq H_{i,j}^{\max} \dots \dots \dots \quad (1)$$

$H_{i,j}(t)$: الضغط الهيدروليكي في العقدة i في حالة الاحتياج المائي j خلال الزمن t مقدراً بـ (bar).

الضغط الأصغر والأعظمي المسموح به مقدراً بـ (bar).

3- شرط الجرمان في الأنابيب:

يجب ضبط سرعة الجريان الأعظمية لمنع الضخ الزائد عن الاستهلاك، لأن زيادة السرعة في الأنابيب ستؤدي إلى زيادة الضياعات، وبالتالي زيادة الضاغط المقدم من المضخة، وفي هذه الحالة ستحتاج المضخة لطاقة أكبر ل能做到 تلبية متطلبات الشبكة، ويعبر عن هذا الشرط رياضياً بالعلاقة الآتية:

$$v_{i,j}(t) \leq v_{i,j}^{max} \quad \dots \dots (2)$$

حیث:

$v_{i,j}(t)$: السرعة في الأنابيب i في حالة الاحتياج المائي j مقدرة بـ (m/s).

v_{max} : السرعة الأعظمية المسموحة في الأنابيب ز في حالة الاحتياج المائي ز مقدرة بـ (m/s).

3-3- شرط خزان التجمیع:

يجب أن يتراوح منسوب المياه في الخزان بين القيمة الأصغرية والأعظمية المسموحة بها، لضمان تغذية الشبكة بشكل مقبول، خلال زمن عمل الشبكة، وعبر عن هذا الشرط رياضياً بالعلاقة الآتية:

$$TL_{\min g} \leq TL_g(t) \leq TL_{\max g} \dots \dots (3)$$

حیث:

TL_{min}: المنسوب الأصغر المسموح في الخزان g خلال كل زمن الدراسة مقدراً بـ (m).

$TL_g(t)$: منسوب الماء في الخزان g خلال الزمن t مقدراً بـ(m).

: المنسوب الأعظمي المسموح في الخزان g خلال كل زمن الدراسة مقدراً بـ (m) .

إضافة إلى ذلك، يجب حساب فرق حجم الماء بين بداية ونهاية زمن الدراسة، هل ازداد حجم الماء أم نقص عند وجود خزان توازن بالشبكة، ويعبر عن ذلك بالعلاقة الآتية:

$$|TV_g^{final} - TV_g^{initial}| \leq \Delta TV_g \dots \dots (4)$$

حیث:

TV_g^{final} : حجم الماء في الخزان g في نهاية زمن الدراسة مقدراً بـ (m^3) .

$TV_g^{initial}$: حجم الماء في الخزان g في بداية زمن الدراسة مقدراً بـ (m^3) .

ΔTV_g : التغير المسموح به في حجم الماء ضمن الخزان، يتم تحديده من قبل الدارس، ويمكن اعتباره مساوياً للصفر أو لا يزيد عن 5% من حجم الخزان $g \cdot (m^3)$.

3-4- شرط تشغيل واقف المضخات:

يجب منع تكرار تشغيل وإيقاف المضخات عند دراسة التشغيل الأمثل للشبكة، لأن ذلك له تأثير سلبي هيدروليكيًا وسبب رئيس لحدوث ظاهرة الصدمة المائية التي تتعرض لها الشبكة، وبعد عن هذا الشطط، ياضياً بالعلاقة الآتية:

$$PS_{\text{v}} \leq PS_{\text{max},\text{v},\text{min},\text{v}} \quad (5)$$

حالت

PSN: عدد مرات تشغيل المضخة N، خلاً، زمن الدراسة.

PSmax: عدد المرات الأعظم لتشخذن، وارتفاع المضخة N، خلاً، زمن الدراسة.

4- تابع الهدف لدراسة التشغيل، الصد ولنك، الأمثل، الشبكة:

تهدف دراسة التشغيل الهيدروليكي الأمثل للشبكة إلى تخفيض تكاليف التشغيل قدر الإمكان مع تحقيق المتطلبات الهيدروليكية، وبالتالي، بحث أن بنحو تابع الهدف α ، التكلفة الأقصى الممكنة لاستهلاك الطاقة \cdot Minimum Cost .

- في عام (2006) حدد الباحث "Walski" الشكل العام لتابع تكفة استهلاك الطاقة Ce باعتبار تكفة استهلاك الطاقة متغيرة من فترة لأخرى خلال ساعات اليوم بالعلاقة الآتية [6].

$$Ce_{multi\ tariff} = \sum_{n=1}^N \left[\sum_{t=0}^{t=5} En(t) * Cc + \sum_{t=6}^{t=11} En(t) * Cd + \sum_{t=12}^{t=17} En(t) * Cp \right. \\ \left. + \sum_{t=18}^{t=23} En(t) * Cm \right] ... (6)$$

حيث:

Ce : تكفة استهلاك الطاقة مقدراً ب (ل.س).

N: العدد الكلي للمضخات المدروسة.

T: الفترة الزمنية الكلية التي سيتم ضبط عمل المضخات خلالها عادةً ما تكون 24 hour مقدراً ب (hour).

Cc: تكفة استهلاك واحدة الطاقة، واحدتها في الجمهورية العربية السورية مقدراً ب Kwh / ل.س.

En (t): استهلاك المضخة Px من الطاقة خلال زمن الدراسة الكلي من 0 t=T مقدراً ب (Kw).

Cc, Cd, Cp, Cm: تكفة واحدة الطاقة المتغيرة خلال الأزمنة مقدراً ب (Kwh / ل.س).

5-المواد وطرق البحث:

5-1-منطقة الدراسة:

تم اختيار شبكة مياه شرب حي الوعر الذي يقع شمالي غربي محافظة حمص.

مصدر تغذية الشبكة: تتغذى الشبكة بالضخ المباشر بواسطة أنابيب قطره mm 800 من الفونت المرن من محطة ضخ الجديدة قرب دوار المهندسين.

تم الاعتماد على المخطط التنظيمي لمنطقة الدراسة وصور Google Earth Pro كما يبين الشكل رقم (1) والخرائط الطبوغرافية والمخطط الحالي للشبكة. وجمع البيانات اللازمة من مديرية الخدمات الفنية في حمص (الحصول على مخططات توضح الشوارع ومناسبات الأرض الطبيعية لمنطقة المدروسة)، والمؤسسة العامة للمياه والصرف الصحي في حمص (تحديد الغزارات في الأنابيب والعقد).



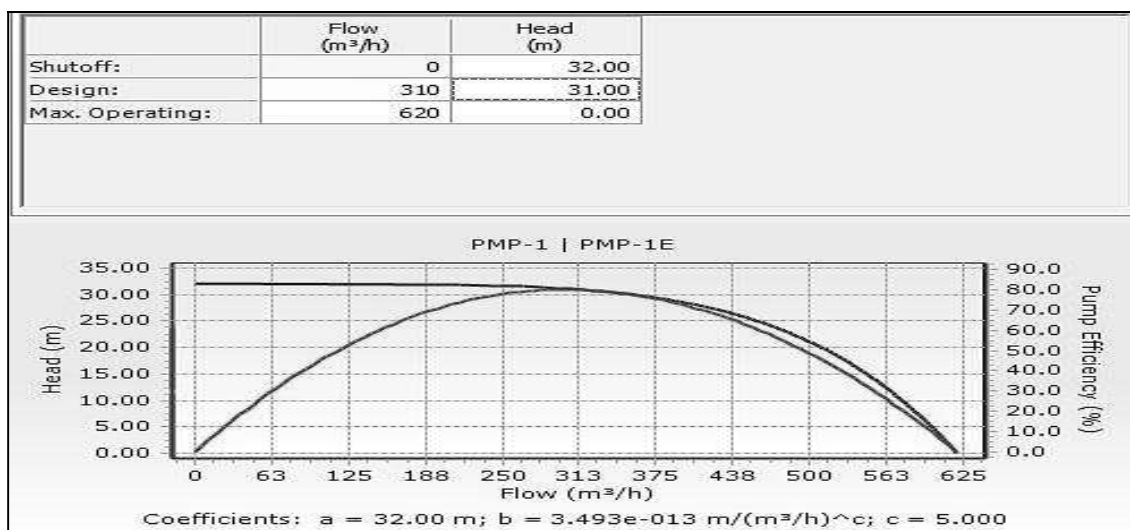
الشكل رقم (1): صورة جوية لمنطقة المدروسة.

بالإضافة إلى استخدام برنامج النمذجة الهيدروليكيه الحاسوبية WaterCAD لرسم مخطط الشبكة المدروسة وإدخال كافة البيانات لكل عنصر من عناصرها وحسابها هيدروليكيأ، ثم القيام بدراسة التشغيل الأمثل للشبكة من خلال منهجية عمل برمجية "Darwin Scheduler" التي تعتمد على الخوارزميات الجينية.

5- دراسة التشغيل الهيدروليكي الأمثل للشبكة بتطبيق تقنية الخوارزمية الجينية البسيطة:

تتألف الشبكة المدروسة من 180 عقدة و274 أنبوب مصنوع من الفونت المرن، ويبلغ الاحتياج الساعي الوسطي للشبكة $(387.3 \text{ m}^3/\text{h})$.

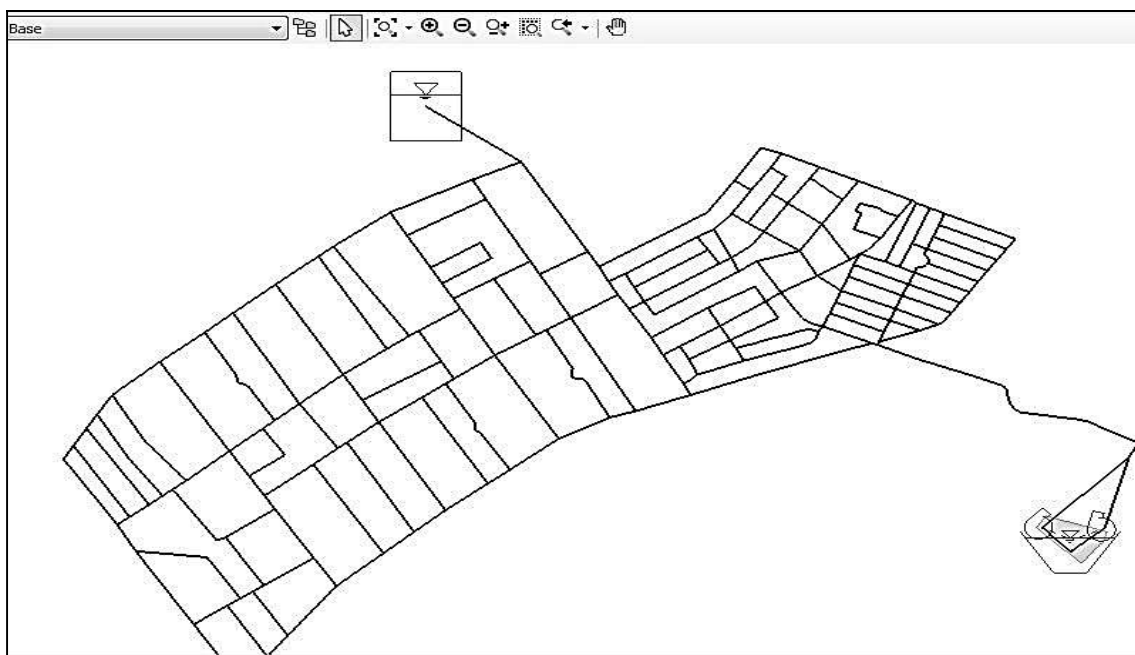
ت تكون محطة ضخ الجديدة من مضختين متماثلتين (Fixed Speed Pump-1, Pump-2) مضخات ثابتة السرعة عاملتين على التوازي ومضخة ثلاثة احتياطية، تم تعریف الخط المميز للمضخات (منحنی التصريف- الضغط، منحنی التصريف- الكفاءة) المدخلة ضمن برنامج WaterCAD في الشكل رقم (2).



الشكل رقم (2): المنحنيات المميزة (Q-H) و (Q-E) للمضخات المستخدمة المدخلة ضمن برنامج WaterCAD

تم اقتراح إنشاء خزان توازن أرضي حجمه (1500 m^3) يتوضع على منسوب جغرافي (512m) . عندما يكون استهلاك الشبكة قليل يذهب الفائض من المياه إلى الخزان، وعندما يزيد استهلاك الشبكة عن إمكانية المضخات يقوم الخزان بتغذية الشبكة.

يبين الشكل رقم (3) نمذجة الشبكة المدروسة والخزان المقترن إنشاءه ضمن برنامج WaterCAD



الشكل رقم (3): نمذجة الشبكة المدروسة والخزان المقترن إنشاءه ضمن برنامج WaterCAD.

- ✓ منسوب المصدر المائي (489m).
- ✓ المنسوب الجغرافي للخزان (512m).
- ✓ ارتفاع الماء الأعظمي في الخزان (5m)، منسوب الماء في الخزان (517m).
- ✓ فرق المنسوب الأعظمي بين الخزان والمصدر المائي (28m).

من تبويب Analysis ضمن برنامج WaterCAD قمنا بفتح منهجة Darwin Scheduler واختيار New Constraints Study ثم إدخال الشروط الهيدروليكية الحدية لجريان خلال الدراسة، كالتالي.

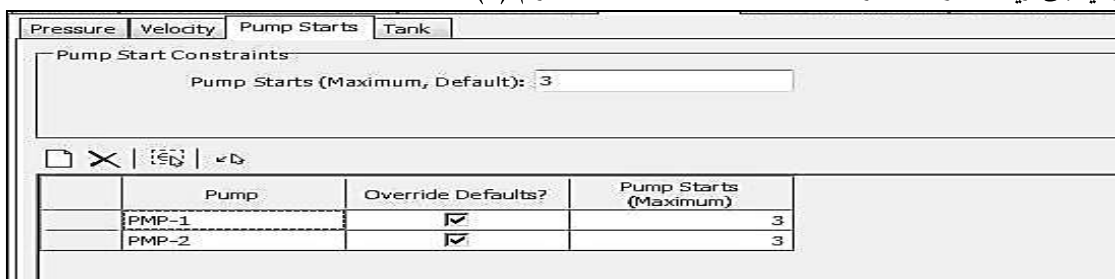
5-3-الشروط الهيدروليكية الحدية (قيود الجريان) للدراسة:

5-3-1-شرط السرعة والضغط :Pressure & Velocity Constraints

تم اختيار الأنابيب والمضخات بحيث تعمل ضمن الحدود المسموحة للضغط في الأنابيب (1.5-6 bar)، والسرع المسموحة ضمن خطوط الضخ (0.2-2.5 m/s) "حسب اشتراطات الكود الروسي لدراسة شبكات توزيع المياه".

5-3-2-شرط عدد مرات تشغيل المضخات :Pump Starts Constraints

تم وضع قيد بـألا يزيد عدد مرات إقلاع كل مضخة يومياً عن 3 مرات كحد أقصى، لأن تكرار عملية الإيقاف والتشغيل يؤدي إلى زيادة حدوث ظاهرة الصدمة المائية كما يبين الشكل رقم (4).



الشكل رقم (4): إدخال عدد مرات تشغيل المضخات المسموح به خلال اليوم ضمن برنامج WaterCAD.

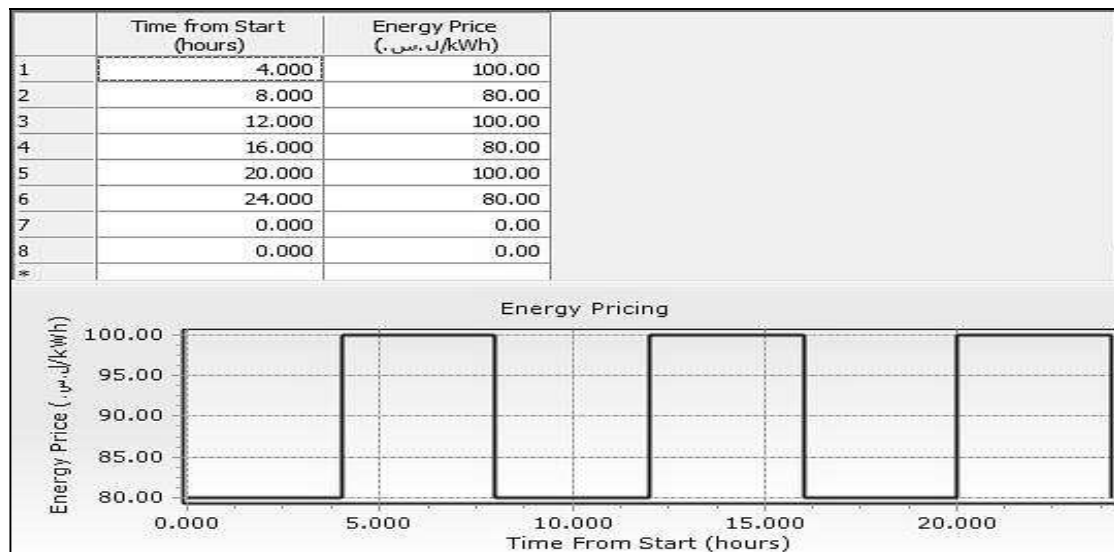
3-5- شرط خزان التجميع : Tank Constraints

تم إدخال شرط قيم ارتفاع الماء المسموح في الخزان ضمن برنامج WeterCAD كالتالي:

- ✓ المنسوب الأصغرى للماء ضمن الخزان (1m) Level Minimum .
- ✓ المنسوب الأصغرى المسموح (1.5m) Level Minimum Allowed .
- ✓ المنسوب الأعظمى للماء (5m) Level Maximum .
- ✓ المنسوب الأعظمى المسموح (4.75m) Level Maximum Allowed .
- ✓ منسوب الماء البدائى في بداية زمن الدراسة (3 m) Level Initial .
- ✓ منسوب الماء النهائى الأصغرى المطلوب توفره في نهاية زمن الدراسة Level Minimum Final Required .(3m)

4-تابع الهدف :

من تبوييب Objective Type قمنا باختيار تابع هدف الوصول لأقل تكلفة ممكنة للضخ، كما تبين العلاقة (6)، باعتبار سعر واحدة الطاقة متغير كل أربع ساعات كما يبين الشكل رقم (5)، إذ أن التزويد الكهربائي يتم من خط التيار الكهربائي العام بسعر KWh /ل.س 80 = C_d ، ومن مولدات дизيل في موقع المحطة بسعر KWh /ل.س 100 = C_c ، "الأسعار مأخوذة بحسب كشوف المؤسسة العامة لمياه الشرب والصرف الصحي في مدينة حمص لعام 2022".



الشكل رقم (5): تكلفة الضخ ساعياً عند دراسة التشغيل الأمثل للشبكة.

5-بارامترات الخوارزمية الجينية البسيطة المستخدمة في دراسة التشغيل الهيدروليكي الأمثل للشبكة:

يعتمد اختيار بaramترات الخوارزمية الجينية البسيطة على العشوائية والتجرب، تم في هذا البحث تجريب عدد كبير من القيم، حتى تتمكننا من الوصول إلى القيم المعتمدة في الجدول رقم (1)، والتي أعطت أفضل النتائج من حيث تحقيق المتطلبات الهيدروليكية، إذ تم الاعتماد في اختيار هذه القيم على ما يلي:

- يجب أن يتراوح عدد الحلول في كل جيل بين [50-500] حل، لأن فضاء الحلول الكبير سيؤدي إلى بطء الحساب وضياع عملية الأمثلة، أما فضاء الحلول الصغير يؤدي إلى تقارب كبير باتجاه الحل الأمثل مباشرةً (يقلل فرص الاختيار بين الحلول) [7].

- يجب أن تتراوح احتمالية التقاطع بين (60-70)%، ويمكن أن تتم عملية التقاطع في نقطة واحدة أو عدة نقاط [8].

- يجب ألا تزيد احتمالية الطرفات عن 2%， لأنه في أغلب الأحيان الحلول التي يطأ عليها عملية الطفرة هي حلول سينة (الحلول التي لم تدخل في عملية التقاطع) [8].

- نتيجة اعتماد الخوارزمية الجينية على العشوائية يجب تحديد قيمة البارامتر Random Seed "وهو آخر بارامتر يتم إدخاله للخوارزمية لتوليد سلسلة من الأرقام العشوائية مختلفة عن غيرها، وبالتالي نحصل على حل مختلف عن سابقه [1]. يجب تغيير قيمة Random Seed أكثر من مرة للحصول على أفضل النتائج، بعد التجربة تبين أنه يجب أن تتوافق قيمته بين (0.5-1).

الجدول رقم (1): بارامترات الخوارزمية المعتمدة عند دراسة التشغيل الهيدروليكي الأمثل الشبكة.

تعريف البارامتر	قيمة البارامتر
عدد السكان (الحلول) في كل جيل Population Size	300 حل
عدد العناصر المنتقلة للجيل التالي بدون تزاوج Elite Population Size	25 حل
عدد نقاط التقاطع Number of Crossover Points	2
احتمالية التقاطع Probability of Crossover	% 65
احتمالية الطرفات Mutation Probability	%1.5
البارامتر Random Seed	1

6-النتائج والمناقشة:

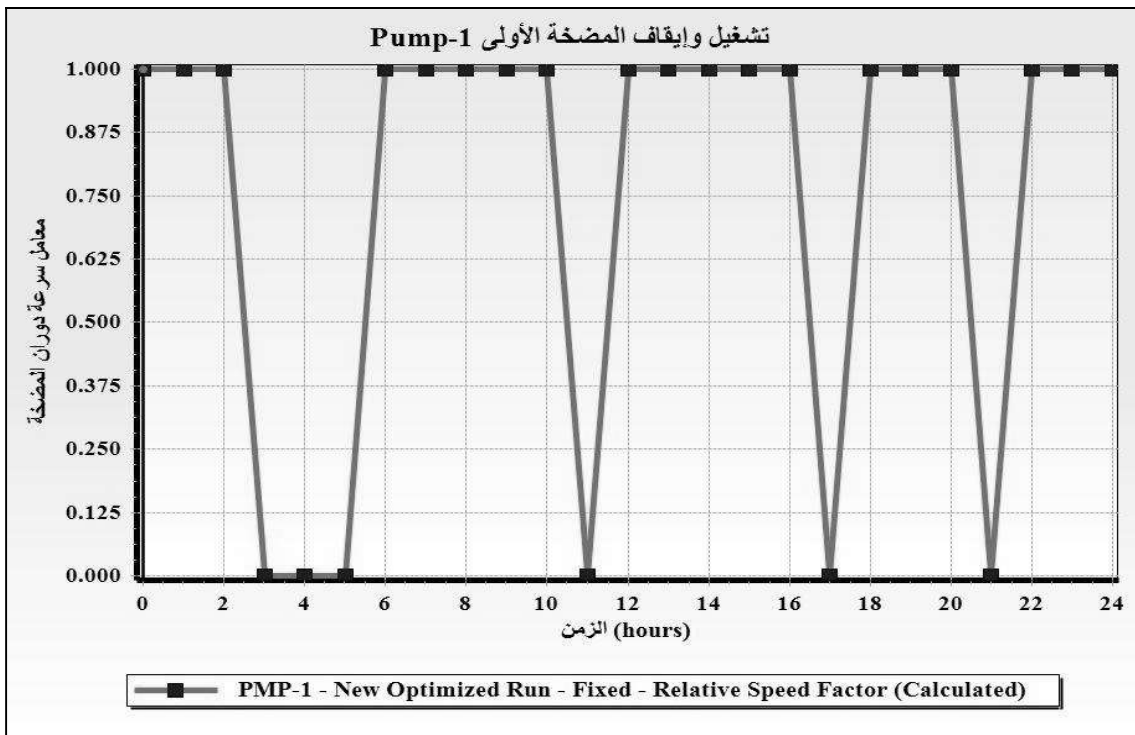
قمنا بإجراء التحليل الهيدروليكي للشبكة باستخدام برنامج WaterCAD فتبين لدينا أن 85% من السرعات في أنابيب الشبكة تتراوح بين (0.35-1.8 m/s) وهي ضمن الحدود المسموحة للسرعة، وتوزعت الضغوط في عقد الشبكة بين (1.6-3.5 bar)، وهي ضمن الحدود المسموحة للضغط، وبالتالي الشبكة تعمل بشكل جيد.

ثم تم تطبيق تقنية الخوارزمية الجينية البسيطة بعد تحديد بارامترات الأمثلة للخوارزمية وتابع هدف التكلفة الأصغرية للضخ (minimum Energy Cost)، والشروط الهيدروليكية الحدية للجريان من أجل إيجاد الحل الهيدروليكي الأمثل لتشغيل الشبكة، إذ تم الحصول على 5 حلول (Solution) لتشغيل الشبكة بحسب النمذجة الهيدروليكية الحاسوبية، تم تقييم هذه الحلول بناءً على مدى تحقيق كل حل للمتطلبات الهيدروليكيية إضافة إلى التكلفة الأصغرية للضخ، واختيار الحل الأفضل من بينها وتصديره إلى واجهة السيناريوهات ضمن البرنامج.

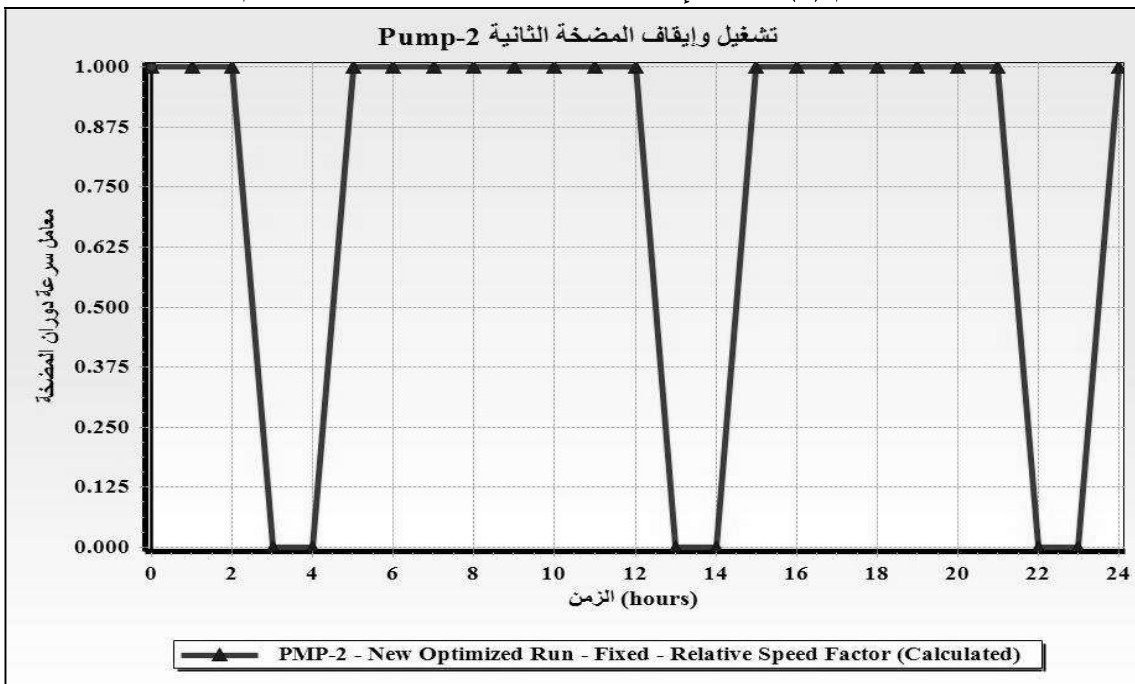
بعد إيجاد الحل الأمثل لتشغيل استطعنا تحديد جدول تشغيل وإيقاف المضخات وإيجاد التكلفة الاقتصادية الاستثمارية لتشغيل المحطة التي تغنى الشبكة كالتالي:

يبين الشكلين رقم (7,6) ساعات تشغيل وإيقاف المضختين (Pump-1، Pump-2) ضمن المحطة بدلالة معامل سرعة دوران المضخة (معامل سرعة الدوران له قيمتين "القيمة 0 تشير إلى إيقاف المضخة"، "القيمة 1 تشير إلى تشغيل المضخة").

نلاحظ من الشكل (6) أن المضخة الأولى Pump-1 يتم إيقافها من الساعة (5-2) صباحاً وفي الساعة (11) صباحاً كذلك في الساعة (17) مساءً والساعة (21) مساءً أي يمكن إيقافها 6 ساعات عن العمل في اليوم، أما الشكل (7) يبين أنه يتم إيقاف المضخة الثانية Pump-2 من الساعة (4-2) صباحاً، ومن الساعة (12-14) مساءً، ومن الساعة (24-22) مساءً أي يمكن إيقافها 6 ساعات عن العمل أيضاً.



الشكل رقم (6): تشغيل وإيقاف المضخة 1 Pump-1 خلال ساعات اليوم.



الشكل رقم (7): تشغيل وإيقاف المضخة 2 Pump-2 خلال ساعات اليوم.

كما يبين الجدولين رقم (3,2) نتائج تشغيل المضختين (Pump-1، Pump-2) خلال ساعات اليوم عند دراسة التشغيل الهيدروليكي الأمثل للشبكة، حيث قمنا باستخدام العلاقات الآتية في حساب كل من:

✓ الطاقة المقدمة من مصدر الطاقة الكهربائية بواحدة (KW) تساوى:

$$\frac{\rho * g * Q * H}{n} * 10^3 \dots\dots\dots(7)$$

حَدِيثٌ:

Q : تصريف المضخة مقداراً بـ (m^3/s)

.(m) ضاغط المضخة مقدراً بـ H

كفاءة المضخة بـ %_p

✓ تكلفة الضخ الإجمالية مقدرة بـ (ل.س) = الطاقة المقدمة من مصدر الطاقة الكهربائي * سعر الكيلو واط الساعي.

$$\checkmark \text{تكلفة الضخ} = \frac{\text{تكلفة الضخ}}{\text{الحجم المضخو كـل في ساعة}} \text{ وحدة الحجم من الماء} =$$

تكلفة الضخ مقدرة بـ (ل.س)، الحجم المضخوخ مقدر بـ (m^3).

- تم اعتبار كفاءة المضخات المستخدمة (84%)، وكفاءة محرك المضخات (88%).

الجدول رقم (2): نتائج تشغيل المضخة Pump-1 خلال ساعات اليوم حسب التشغيل الهيدروليكي الأمثل للشبكة.

معامل سرعة دوران محرك المضخة	تكلفة ضخ واحدة الحجم من الماء	تكلفة الضخ الإجمالية	سعر الكيلو واط الساعي	الطاقة المقدمة من مصدر الطاقة الكهربائي	كفاءة محرك المضخة	كفاءة مضخة الماء	الطاقة الواضحة للماء	ضاغط مضخة التصريف	الزمن	
Relative Speed Factor	(m³/s)	(L/s)	(kwh/L.s.)	(kw)	%	%	(kw)	(m)	(m³/h)	(hour)
1	8.17	2540	80	31.75	88	84	25.6	31.54	310.6	0-1
1	8.17	2540	80	31.75	88	84	25.6	31.54	310.6	1-2
0	0	0	0	0	0	0	0	0	0	2-3
0	0	0	0	0	0	0	0	0	0	3-4
0	0	0	0	0	0	0	0	0	0	4-5
1	10.22	3175	100	31.75	88	84	25.6	31.54	310.6	5-6
1	10.22	3175	100	31.75	88	84	25.6	31.54	310.6	6-7
1	10.22	3175	100	31.75	88	84	26.6	31.54	310.6	7-8
1	8.17	2540	80	31.75	88	84	25.6	31.54	310.6	8-9
1	8.17	2540	80	31.75	88	84	25.6	31.54	310.6	9-10
0	0	0	0	0	0	0	0	0	0	10-11
1	8.17	2540	80	31.75	88	84	25.6	31.54	310.6	11-12
1	10.22	3175	100	31.75	88	84	25.6	31.54	310.6	12-13
1	10.22	3175	100	31.75	88	84	25.6	31.53	310.6	13-14
1	10.22	3175	100	31.75	88	84	25.6	31.54	310.6	14-15
1	10.22	3175	100	31.75	88	84	25.6	31.54	310.6	15-16
0	0	0	0	0	0	0	0	0	0	16-17
1	8.17	2540	80	31.75	88	84	25.6	31.54	310.6	17-18
1	8.17	2540	80	31.75	88	84	25.6	31.54	310.6	18-19
1	8.17	2540	80	31.75	88	84	25.6	31.54	310.6	19-20
0	0	0	0	0	0	0	0	0	0	20-21
1	10.22	3175	100	31.75	88	84	25.6	31.54	310.6	21-22
1	10.22	3175	100	31.75	88	84	25.6	31.54	310.6	22-23
1	10.22	3175	100	31.75	88	84	25.6	31.54	310.6	23-24

الجدول رقم (3): نتائج تشغيل المضخة Pump-2 خلال ساعات اليوم حسب التشغيل الهيدروليكي الأمثل للشبكة.

معامل سرعة دوران محرك المضخة	تكلفة ضخ واحدة الحجم من الماء	تكلفة الضخ الإجمالية	سعر الكيلو واط الساعي	الطاقة المقدمة من مصدر الطاقة الكهربائي	كفاءة محرك المضخة	كفاءة المضخة	الطاقة الوابطة للماء	ضاغط المضخة	تصريف التصريف	الزمن
Relative Speed Factor	(m ³ /س)	(ل.س)	(kwh/ل.س)	(kw)	%	%	(kw)	(m)	(m ³ /h)	(hour)
1	8.17	2536.8	80	31.71	88	84	25.6	31.5	310.5	0-1
1	8.17	2536.8	80	31.71	88	84	25.6	31.5	310.5	1-2
0	0	0	0	0	0	0	0	0	0	2-3
0	0	0	0	0	0	0	0	0	0	3-4
1	10.21	3170	100	31.71	88	84	25.6	31.5	310.5	4-5
1	10.21	3170	100	31.71	88	84	25.6	31.5	310.5	5-6
1	10.21	3170	100	31.71	88	84	25.6	31.5	310.5	6-7
1	10.21	3170	100	31.71	88	84	26.6	31.5	310.5	7-8
1	8.17	2536.8	80	31.71	88	84	25.6	31.5	310.5	8-9
1	8.17	2536.8	80	31.71	88	84	25.6	31.5	310.5	9-10
1	8.17	2536.8	80	31.71	88	84	25.6	31.5	310.5	10-11
1	8.17	2536.8	80	31.71	88	84	25.6	31.5	310.5	11-12
0	0	0	0	0	0	0	0	0	0	12-13
0	0	0	0	0	0	0	0	0	0	13-14
1	10.21	3170	100	31.71	88	84	25.6	31.5	310.5	14-15
1	10.21	3170	100	31.71	88	84	25.6	31.5	310.5	15-16
1	8.17	2536.8	80	31.71	88	84	25.6	31.5	310.5	16-17
1	8.17	2536.8	80	31.71	88	84	25.6	31.5	310.5	17-18
1	8.17	2536.8	80	31.71	88	84	25.6	31.5	310.5	18-19
1	8.17	2536.8	80	31.71	88	84	25.6	31.5	310.5	19-20
1	10.21	3170	100	31.71	88	84	25.6	31.5	310.5	20-21
1	10.21	3170	100	31.71	88	84	25.6	31.5	310.5	21-22
0	0	0	0	0	0	0	0	0	0	22-23
0	0	0	0	0	0	0	0	0	0	23-24

بناءً على نتائج الجدولين (2,3) التي حصلنا عليها بعد تطبيق الخوارزمية الجينية البسيطة قمنا بتحديد قيم بارامترات نتائج تشغيل وإيقاف المضختين Pump-1، Pump-2 كالتالي:
المضخة الأولى:

- ✓ عدد ساعات عمل المضخة في اليوم: 18 hour
- ✓ حجم الماء الكلي المضخوخ في اليوم: 5590.8 m³
- ✓ متوسط الطاقة الوالصة للماء: 25.6 KW
- ✓ متوسط كفاءة المضخة: 84%
- ✓ متوسط الطاقة المقدمة من مصدر الطاقة الكهربائي: 31.75 Kw
- ✓ الطاقة الكلية المستهلكة خلال اليوم: 571.5 Kwh
- ✓ تكلفة الضخ اليومية: 52070 ل.س
- ✓ تكلفة ضخ وحدة الحجم من الماء: 52070/5590.8 = 9.31 /m³ ل.س

المضخة الثانية:

- ✓ عدد ساعات عمل المضخة في اليوم: 18 hour
- ✓ حجم الماء الكلي المضخوخ في اليوم: 5589 m³
- ✓ متوسط الطاقة الوالصة للماء: 25.6 Kw
- ✓ متوسط كفاءة المضخة: 84%
- ✓ متوسط الطاقة المقدمة من مصدر الطاقة الكهربائي: 31.71 Kw
- ✓ الطاقة الكلية المستهلكة خلال اليوم: 570.6 Kwh
- ✓ تكلفة الضخ اليومية: 50728 ل.س.
- ✓ تكلفة ضخ وحدة الحجم من الماء: 50728/5589 = 9.1 /m³ ل.س

نستنتج أن قيم البارامترات الهيدروليكيية والكهربائية للتكلفة الاستثمارية للمحطة أثناء التشغيل الهيدروليكي الأمثل هي:

- الطاقة الكلية المستهلكة خلال اليوم :Energy 1142.1 Kwh
- تكلفة الضخ الكلية اليومية¹ :Energy Cost 102798 ل.س.
- حجم الماء الذي تم ضخه خلال اليوم :Volume 11179.8 m³
- الطاقة اللازمة لضخ وحدة الحجم من الماء :Unit Energy Use 1142.1/11179.8 = 0.102 KWh /m³
- تكلفة ضخ وحدة الحجم من الماء :Unit Energy Cost 9.2 /m³
- مدة الدراسة :Run Duration 24 hour

نتائج الخزان عند التشغيل الهيدروليكي الأمثل للشبكة:

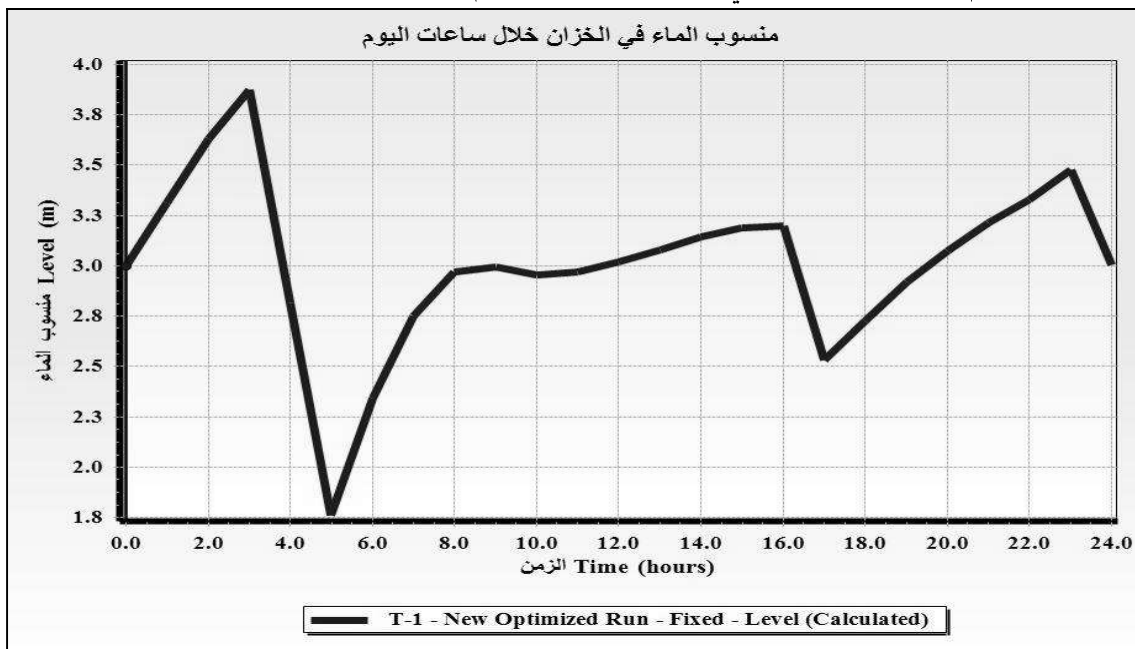
لمعرفة حالة الامتلاء للخزان أثناء التشغيل الهيدروليكي الأمثل للشبكة قمنا بتحديد قيم البارامترات الآتية:

- قيمة الميل الهيدروليكي البدائية (Beginning) Hydraulic Grade (Beginning) 515 m
- قيمة الميل الهيدروليكي النهائية (End) Hydraulic Grade (End) 515.04 m
- حجم الماء البدائي (Beginning) Volume 800 m³
- حجم الماء النهائي (End) Volume 801.6 m³

¹ تكلفة الضخ محسوبة على الأسعار خلال فترة الدراسة.

- تغير حجم الماء 1.59 m^3 : Volume Change
- تكلفة اخزان واحدة الحجم من الماء 9.2 L/m^3 : Cost Per Unit Volume
- تكلفة المياه المخزنة (Daily) 14.57 L : Cost (Daily)
- الطاقة اللازمة لضخ واحدة الحجم من الماء 0.102 KWh/m^3 : Energy Per Unit Volum
- الطاقة المخزنة 0.2 KWh : Energy Stored

كما يبين الشكل رقم 8 تغير منسوب الماء في الخزان خلال ساعات اليوم أثناء التشغيل الأمثل للشبكة.



الشكل رقم (8): تغير منسوب الماء في الخزان خلال ساعات اليوم أثناء التشغيل الأمثل للشبكة.

نلاحظ من البارامترات المستنيرة للخزان، وتغير منسوب الماء فيه خلال اليوم أن منسوب الماء وحجمه في نهاية فترة الدراسة يساوي تقريباً إلى منسوب الماء وحجمه في بداية الفترة، وارتفاع الماء فيه تراوح بين ($3.85 \text{ m} - 1.8 \text{ m}$) وهي ضمن الحدود المسموحة، وبالتالي الخزان المقترن إنشاءه مناسب والحجم المضخوخ من المياه والذي يبلغ (1179.8 m^3) كافي لتغذية الشبكة بشكل مقبول خلال ساعات اليوم، مع إمكانية إيقاف كل مضخة عن العمل 6 ساعات وتغذية الشبكة من المضخات والخزان معاً دون النقص في تغذية الشبكة.

7- الاستنتاجات:

تم في هذا البحث تحسين استخدام الخوارزميات الجينية البسيطة في دراسة إدارة تشغيل شبكات المياه، وتلخصت النتائج بما يلي:

- 1- بنتيجة تطبيق الخوارزمية الجينية البسيطة استطعنا تحديد جدول تشغيل وإيقاف للمضخات (جدولة المضخات بشكل أمثل) التي تغذي الشبكة، وتحديد الحجم المائي المضخوخ خلال اليوم بما يضمن إيصال المياه للشبكة بشكل مستمر.
- 2- بيان فعالية استخدام خزان توازن لتغذية الشبكة عن طريق تحديد حالة الاملاء للخزان حيث بلغ التغير في حجم الماء فيه قيمة صغيرة ($1,59 \text{ m}^3$) خلال مدة الدراسة، وبالتالي إمكانية تغذية الشبكة من الخزان والمضخات معاً.
- 3- تحديد التكلفة الاقتصادية الاستثمارية الممكنة لتشغيل الشبكة بشكل أمثل بقيمة اقتصادية تبلغ (102798 L) في اليوم، وطاقة كهربائية مستهلكة (1142 KWh).

4- للخوارزمية الجينية البسيطة أثر فعال في دراسة إدارة تشغيل شبكات مياه الشرب الكبيرة، والوصول إلى حل جيد ومحبوب لتغذية الشبكة من الناحية الهيدروليكيه والاقتصادية.

8-النوصيات:

1- الاستفادة من تقنيات الذكاء الصناعي ودراسة إمكانية استخدام أنواع أخرى من الخوارزميات في دراسة التشغيل الأمثل لشبكات مياه الشرب، ثم المقارنة فيما بينها و اختيار الخوارزمية الأفضل والأكثر كفاءة.

2- الاستفادة من طرق الوصول للحلول المثلثى لا سيما خوارزميات البحث العشوائى في دراسة المسائل التي تُعنى في وضع خطط مستقبلية لإدارة شبكات توزيع المياه والقطاع المائي.

9-المراجع:

1- عبد الجليل، إبراهيم، (2022م)، النمذجة الهيدروليكيه لشبكات مياه الشرب باستخدام خوارزميات الحل الأمثل ضمن إطار البرمجيات التكاملية، كلية الهندسة المدنية، جامعة البعث، ص 243-50.

2- Ormsbee, L, E. & Kevin E. L., (1994), **Optimal Control of Water Supply Pumping Systems**, Journal of Water Resources Planning and Management, Vol 24, No.2, Pp237-252.

3- Wu, Z. Y, Larsen, R., Walski, T., Cook, (2002). **Optimal Capacity of Water Distribution Systems**, the 1 st Annual Environmental and Water Resources Systems Analysis(EWRSA) Symposium, May 19–22, Roanoke,VA, USA.

4- Schaetzen, W.B.F., Savic D.A. & Waltres, G.A., (1998), **A Genetic Algorithm Approach to Pump Scheduling in Water Supply System**. Journal of Water Resources Planning and Management, ASCE, 123, pp 60–79.

5- Wu, Z.Y. andWalski T (2005), **Self- adaptive Penalty Approach Com- pared With Other Constrain- handling Techniques for Pipeline Optimization**, J. Water Resour. Plann. Manage. 131 (3) 181–192., pp. 123–148.

6- Wu, Z.Y. and Walski, T (2006), **Computer Applications in Hydraulic Engineering**, Fifth Edition, Waterbury, Connecticut, Haestad Press.

7- K, D. (1998) **An Efficient Constraint Handling Method For Genetic Algorithm Technical Report**, Kanpur genetic algorithm laboratory, Department of Mechanical Engineering, Indian Institute of Technology Kanpur.

8-VUUREN.VAN. SJ, (2002) **Application of genetic Algorithms-Determination of the Optimal Pipe Diameters**, South Africa January. Pp 217–226.